

# Métodos Estabilizados para Elasticidade Não-linear Incompressível

Felipe Rocha [felipefr@lncc.br](mailto:felipefr@lncc.br)

Defesa do Projeto Final

Curso GB-167 - Fenômenos de Transporte Computacional



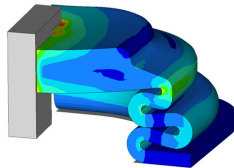
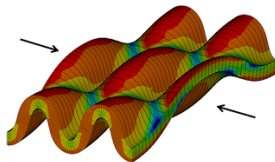
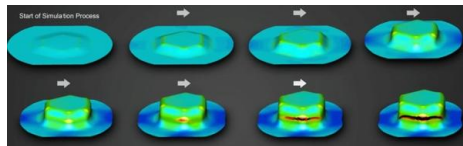
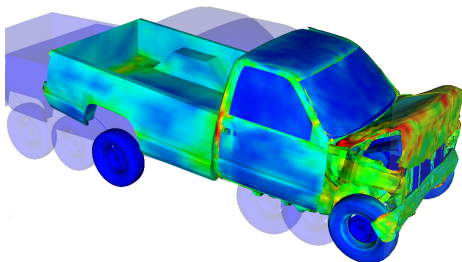
Laboratório  
Nacional de  
Computação  
Científica

14 de dezembro de 2016

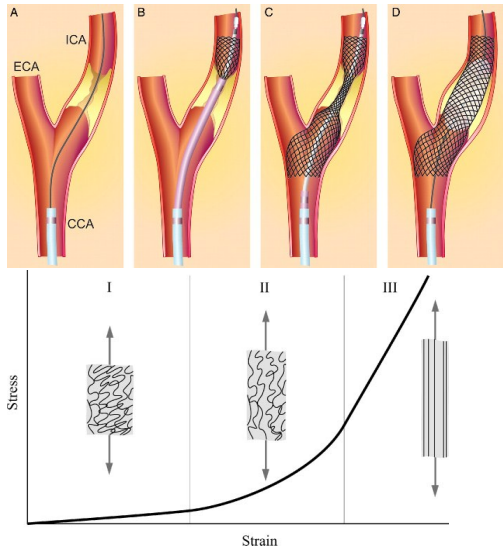
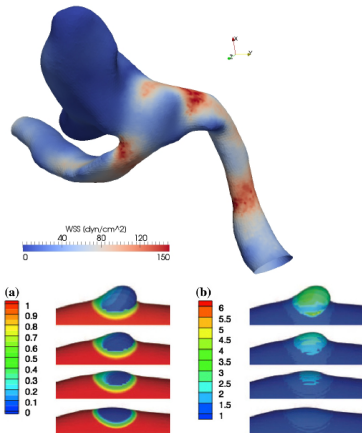
# Outline

- 1 Motivação
- 2 Formulação em um campo
- 3 Formulação Mista
- 4 Formulação Mista Estabilizada
- 5 Detalhes de Implementação
- 6 Exemplos Numéricos
- 7 Considerações Finais

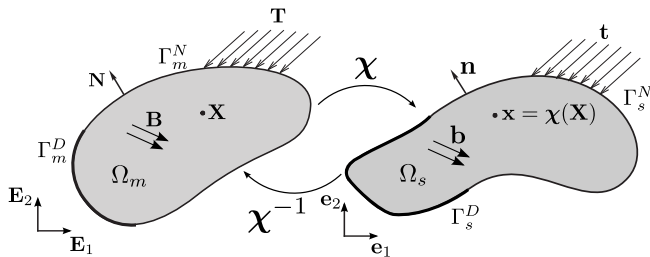
# Motivação



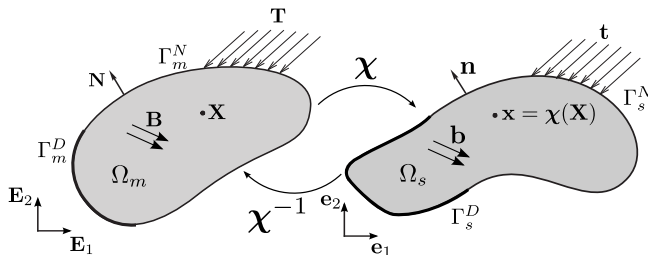
# Motivação



## Cinemática de Grandes Deformações

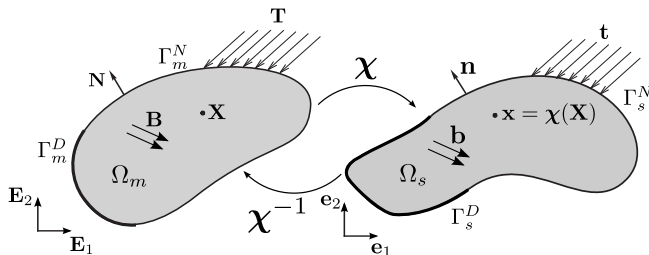


## Cinemática de Grandes Deformações



$$\begin{aligned}
 \mathbf{F} &= \nabla \chi \\
 d\mathbf{x} &= \mathbf{F} d\mathbf{X} \\
 d\Omega_s &= \det \mathbf{F} d\Omega_m \\
 J &= \det \mathbf{F} > 0 \\
 n d\Gamma_s &= J \mathbf{F}^{-T} \mathbf{N} d\Gamma_m
 \end{aligned}$$

## Cinemática de Grandes Deformações



$$\mathbf{F} = \nabla \chi$$

$$d\mathbf{x} = \mathbf{F} d\mathbf{X}$$

$$d\Omega_s = \det \mathbf{F} d\Omega_m$$

$$J = \det \mathbf{F} > 0$$

$$n d\Gamma_s = J \mathbf{F}^{-T} \mathbf{N} d\Gamma_m$$

$$\mathbf{u}(\mathbf{X}) = \chi(\mathbf{X}) - \mathbf{X}$$

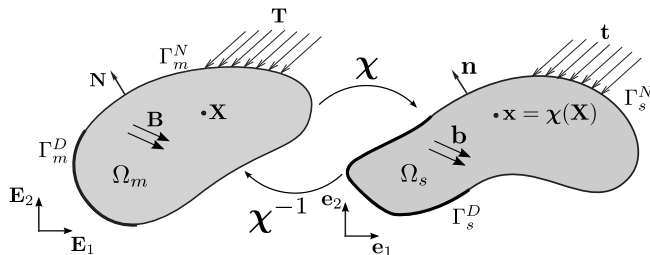
$$\mathbf{u}_s(\mathbf{x}) = \mathbf{u}(\chi^{-1}(\mathbf{x}))$$

$$\mathbf{F}(\mathbf{X}) = \mathbf{I} + \nabla \mathbf{u}(\mathbf{X})$$

$$(\text{grad} \mathbf{u}_s)_m = \mathbf{F}^{-1} \nabla \mathbf{u}$$

$$(\text{grad} \theta_s)_m = \mathbf{F}^{-T} \nabla \theta$$

## Cinemática de Grandes Deformações



$$\begin{aligned}
 \mathbf{F} &= \nabla \chi \\
 d\mathbf{x} &= \mathbf{F} d\mathbf{X} \\
 d\Omega_s &= \det \mathbf{F} d\Omega_m \\
 J &= \det \mathbf{F} > 0 \\
 n d\Gamma_s &= J \mathbf{F}^{-T} \mathbf{N} d\Gamma_m
 \end{aligned}$$

$$\mathbf{u}(\mathbf{X}) = \chi(\mathbf{X}) - \mathbf{X}$$

$$\mathbf{u}_s(\mathbf{x}) = \mathbf{u}(\chi^{-1}(\mathbf{x}))$$

$$\mathbf{F}(\mathbf{X}) = \mathbf{I} + \nabla \mathbf{u}(\mathbf{X})$$

$$(\text{grad } \mathbf{u}_s)_m = \mathbf{F}^{-1} \nabla \mathbf{u}$$

$$(\text{grad } \theta_s)_m = \mathbf{F}^{-T} \nabla \theta$$

$$(\text{Cauchy-Green}) \quad \mathbf{C} = \mathbf{F}^T \mathbf{F}$$

$$(\text{Green-Lagrange}) \quad \mathbf{E} = \frac{1}{2}(\mathbf{C} - \mathbf{I})$$

$$= \frac{1}{2}(\nabla \mathbf{u} + (\nabla \mathbf{u})^T + (\nabla \mathbf{u})^T \nabla \mathbf{u})$$



# Princípio de Potências Virtuais

## Forma Espacial

Dado  $(\mathbf{b}, \mathbf{t})$  admissíveis encontrar  $\mathbf{u}_s \in \mathcal{U}_s$  tal que:

$$\int_{\Omega_s} \boldsymbol{\sigma}(\mathbf{u}_s) \cdot \text{grad}^s \hat{\mathbf{u}}_s d\Omega_s = \int_{\Gamma_s^N} \mathbf{b} \cdot \hat{\mathbf{u}}_s d\Omega_s + \int_{\Gamma_s^N} \mathbf{t} \cdot \hat{\mathbf{u}}_s d\Gamma_s^N \quad \forall \hat{\mathbf{u}}_s \in \mathcal{V}_s$$

onde:

$$\mathcal{U}_s = \{\mathbf{u}_s : \Omega_s \rightarrow \mathbb{R}^{\text{nd}}; \text{suf. reg.}, \mathbf{u}_s|_{\Gamma_s^D} = \bar{\mathbf{u}}_s\}$$

$$\mathcal{V}_s = \{\hat{\mathbf{u}}_s : \Omega_s \rightarrow \mathbb{R}^{\text{nd}}; \text{suf. reg.}, \hat{\mathbf{u}}_s|_{\Gamma_s^D} = \mathbf{0}\}.$$

e  $\boldsymbol{\sigma} = \mathcal{F}(\mathbf{u}_s)$  é o tensor de tensões de Cauchy.

## Forma Forte

$$\begin{cases} \text{div}_s \boldsymbol{\sigma} + \mathbf{b} = 0 & \text{em } \Omega_s \\ \boldsymbol{\sigma} \mathbf{n} = \mathbf{t} & \text{sobre } \Gamma_s^N \\ \mathbf{u}_s = \bar{\mathbf{u}}_s & \text{sobre } \Gamma_s^D \end{cases}$$

# Princípio de Potências Virtuais

## Forma Espacial

Dado  $(\mathbf{b}, \mathbf{t})$  admissíveis encontrar  $\mathbf{u}_s \in \mathcal{U}_s$  tal que:

$$\int_{\Omega_s} \boldsymbol{\sigma}(\mathbf{u}_s) \cdot \text{grad}^s \hat{\mathbf{u}}_s d\Omega_s = \int_{\Gamma_s^N} \mathbf{b} \cdot \hat{\mathbf{u}}_s d\Omega_s + \int_{\Gamma_s^N} \mathbf{t} \cdot \hat{\mathbf{u}}_s d\Gamma_s^N \quad \forall \hat{\mathbf{u}}_s \in \mathcal{V}_s$$

onde:

$$\mathcal{U}_s = \{\mathbf{u}_s : \Omega_s \rightarrow \mathbb{R}^{\text{nd}}; \text{suf. reg.}, \mathbf{u}_s|_{\Gamma_s^D} = \bar{\mathbf{u}}_s\}$$

$$\mathcal{V}_s = \{\hat{\mathbf{u}}_s : \Omega_s \rightarrow \mathbb{R}^{\text{nd}}; \text{suf. reg.}, \hat{\mathbf{u}}_s|_{\Gamma_s^D} = \mathbf{0}\}.$$

e  $\boldsymbol{\sigma} = \mathcal{F}(\mathbf{u}_s)$  é o tensor de tensões de Cauchy.

## Forma Forte

$$\begin{cases} \text{div}_s \boldsymbol{\sigma} + \mathbf{b} = 0 & \text{em } \Omega_s \\ \boldsymbol{\sigma} \mathbf{n} = \mathbf{t} & \text{sobre } \Gamma_s^N \\ \mathbf{u}_s = \bar{\mathbf{u}}_s & \text{sobre } \Gamma_s^D \end{cases}$$

# Princípio de Potências Virtuais

## Forma Material

Dado  $(\mathbf{B}, \mathbf{T})$  admissíveis encontrar  $\mathbf{u} \in \mathcal{U}$  tal que:

$$\int_{\Omega_m} \mathbf{P}(\mathbf{u}) \cdot \nabla \hat{\mathbf{u}} \, d\Omega_m = \int_{\Gamma_m^N} \mathbf{B} \cdot \hat{\mathbf{u}} \, d\Omega_m + \int_{\Gamma_s^N} \mathbf{T} \cdot \hat{\mathbf{u}} \, d\Gamma_s^N \quad \forall \hat{\mathbf{u}} \in \mathcal{V}$$

onde:

$$\mathcal{U} = \{\mathbf{u} \in H^1(\Omega_m)^{\text{nd}}, \mathbf{u}|_{\Gamma_m^D} = \bar{\mathbf{u}}\}$$

$$\mathcal{V} = \{\hat{\mathbf{u}} \in H^1(\Omega_m)^{\text{nd}}; \hat{\mathbf{u}}|_{\Gamma_m^D} = \mathbf{0}\}.$$

e  $\mathbf{P} = \mathcal{F}(\mathbf{u})$  é o tensor primeiro tensor de Piola-Kirchhoff.

## Forma Forte

$$\begin{cases} \operatorname{div} \mathbf{P} + \mathbf{B} = \mathbf{0} & \text{em } \Omega_m \\ \mathbf{P}\mathbf{N} = \mathbf{T} & \text{sobre } \Gamma_m^N \\ \mathbf{u} = \bar{\mathbf{u}} & \text{sobre } \Gamma_m^D \end{cases}$$

# Princípio de Potências Virtuais

## Forma Material

Dado  $(\mathbf{B}, \mathbf{T})$  admissíveis encontrar  $\mathbf{u} \in \mathcal{U}$  tal que:

$$\int_{\Omega_m} \mathbf{P}(\mathbf{u}) \cdot \nabla \hat{\mathbf{u}} \, d\Omega_m = \int_{\Gamma_m^N} \mathbf{B} \cdot \hat{\mathbf{u}} \, d\Omega_m + \int_{\Gamma_s^N} \mathbf{T} \cdot \hat{\mathbf{u}} \, d\Gamma_s^N \quad \forall \hat{\mathbf{u}} \in \mathcal{V}$$

onde:

$$\mathcal{U} = \{\mathbf{u} \in H^1(\Omega_m)^{\text{nd}}, \mathbf{u}|_{\Gamma_m^D} = \bar{\mathbf{u}}\}$$

$$\mathcal{V} = \{\hat{\mathbf{u}} \in H^1(\Omega_m)^{\text{nd}}; \hat{\mathbf{u}}|_{\Gamma_m^D} = \mathbf{0}\}.$$

e  $\mathbf{P} = \mathcal{F}(\mathbf{u})$  é o tensor primeiro tensor de Piola-Kirchhoff.

## Forma Forte

$$\begin{cases} \operatorname{div} \mathbf{P} + \mathbf{B} = \mathbf{0} & \text{em } \Omega_m \\ \mathbf{P}\mathbf{N} = \mathbf{T} & \text{sobre } \Gamma_m^N \\ \mathbf{u} = \bar{\mathbf{u}} & \text{sobre } \Gamma_m^D \end{cases}$$

# Princípio de Potências Virtuais

## Forma Material

Dado  $(\mathbf{B}, \mathbf{T})$  admissíveis encontrar  $\mathbf{u} \in \mathcal{U}$  tal que:

$$\int_{\Omega_m} \mathbf{S}(\mathbf{u}) \cdot (\mathbf{F}^T \nabla \hat{\mathbf{u}})^s d\Omega_m = \int_{\Gamma_m^N} \mathbf{B} \cdot \hat{\mathbf{u}} d\Omega_m + \int_{\Gamma_m^N} \mathbf{T} \cdot \hat{\mathbf{u}} d\Gamma_s^N \quad \forall \hat{\mathbf{u}} \in \mathcal{V}$$

Onde  $\mathbf{S}$  é o segundo tensor de Piola-Kirchhoff (simétrico). Temos as equivalencias:

$$\mathbf{P} = \mathbf{F}\mathbf{S}$$

$$\boldsymbol{\sigma} = \frac{1}{J} \mathbf{P}\mathbf{F}^T$$

$$\delta \mathbf{E}(\mathbf{u}, \hat{\mathbf{u}}) = (\mathbf{F}^T \nabla \hat{\mathbf{u}})^s$$

## Forma Forte

$$\begin{cases} \operatorname{div} \mathbf{P} + \mathbf{B} = 0 & \text{em } \Omega_m \\ \mathbf{P}\mathbf{N} = \mathbf{T} & \text{sobre } \Gamma_m^N \\ \mathbf{u} = \bar{\mathbf{u}} & \text{sobre } \Gamma_m^D \end{cases}$$

# Princípio de Potências Virtuais

## Forma Material

Dado  $(\mathbf{B}, \mathbf{T})$  admissíveis encontrar  $\mathbf{u} \in \mathcal{U}$  tal que:

$$\int_{\Omega_m} \mathbf{P}(\mathbf{u}) \cdot \nabla \hat{\mathbf{u}} \, d\Omega_m - \Pi^{ext}(\hat{\mathbf{u}}) = 0 \quad \forall \hat{\mathbf{u}} \in \mathcal{V}$$

Onde  $\mathbf{S}$  é o segundo tensor de Piola-Kirchhoff (simétrico). Temos as equivalencias:

$$\mathbf{P} = \mathbf{F}\mathbf{S}$$

$$\boldsymbol{\sigma} = \frac{1}{J} \mathbf{P}\mathbf{F}^T$$

$$\delta \mathbf{E}(\mathbf{u}, \hat{\mathbf{u}}) = (\mathbf{F}^T \nabla \hat{\mathbf{u}})^s$$

## Forma Forte

$$\begin{cases} \operatorname{div} \mathbf{P} + \mathbf{B} = 0 & \text{em } \Omega_m \\ \mathbf{P}\mathbf{N} = \mathbf{T} & \text{sobre } \Gamma_m^N \\ \mathbf{u} = \bar{\mathbf{u}} & \text{sobre } \Gamma_m^D \end{cases}$$

# Princípio de Potências Virtuais

## Forma Material

Dado  $(\mathbf{B}, \mathbf{T})$  admissíveis encontrar  $\mathbf{u} \in \mathcal{U}$  tal que:

$$\mathcal{R}(\mathbf{u}, \hat{\mathbf{u}}) = 0 \quad \forall \hat{\mathbf{u}} \in \mathcal{V}$$

Onde  $\mathbf{S}$  é o segundo tensor de Piola-Kirchhoff (simétrico). Temos as equivalencias:

$$\mathbf{P} = \mathbf{F}\mathbf{S}$$

$$\boldsymbol{\sigma} = \frac{1}{J} \mathbf{P}\mathbf{F}^T$$

$$\delta \mathbf{E}(\mathbf{u}, \hat{\mathbf{u}}) = (\mathbf{F}^T \nabla \hat{\mathbf{u}})^s$$

## Forma Forte

$$\begin{cases} \operatorname{div} \mathbf{P} + \mathbf{B} = 0 & \text{em } \Omega_m \\ \mathbf{P}\mathbf{N} = \mathbf{T} & \text{sobre } \Gamma_m^N \\ \mathbf{u} = \bar{\mathbf{u}} & \text{sobre } \Gamma_m^D \end{cases}$$

# Modelos Constitutivos

## Modelo Hipereelástico

Seja  $\Psi : \mathbb{R}^{nd \times nd} \rightarrow \mathbb{R}^+$  uma energia de deformação então:

$$\mathbf{P} = \frac{\partial \Psi(\mathbf{F})}{\partial \mathbf{F}}$$

Onde em geral é admitido o desacoplamento:

$$\Psi(\mathbf{F}) = \Psi^{iso}(\bar{\mathbf{F}}) + \kappa U(J)$$

onde  $\bar{\mathbf{F}} = J^{-1/3} \mathbf{F}$ ,  $U(1) = 0$ ,  $U(J) \rightarrow \infty$  quando  $J \rightarrow 0$  ou  $J \rightarrow \infty$ .

## Exemplos

$$\Psi(\mathbf{F}) = \hat{\Psi}(\mathbf{C}) = \frac{\mu}{2}(\text{tr}(\bar{\mathbf{C}}) - 3) + \frac{\kappa}{2}(J - 1)^2 \quad (\text{Neo-Hookean})$$

$$\Psi(\mathbf{F}) \approx \hat{\Psi}(\boldsymbol{\varepsilon}) = \frac{1}{2} \mathbb{C} \boldsymbol{\varepsilon} \cdot \boldsymbol{\varepsilon} \quad (\text{Elasticidade Linear-Infinitesimal})$$

$$\text{Obs: } \boldsymbol{\sigma} = \frac{\partial \Psi}{\partial \boldsymbol{\varepsilon}} = \mathbb{C} \boldsymbol{\varepsilon}$$



# Modelos Constitutivos

## Modelo Hipereelástico

Seja  $\Psi : \mathbb{R}^{nd \times nd} \rightarrow \mathbb{R}^+$  uma energia de deformação então:

$$\mathbf{P} = \frac{\partial \Psi(\mathbf{F})}{\partial \mathbf{F}}$$

Onde em geral é admitido o desacoplamento:

$$\Psi(\mathbf{F}) = \Psi^{iso}(\bar{\mathbf{F}}) + \kappa U(J)$$

onde  $\bar{\mathbf{F}} = J^{-1/3} \mathbf{F}$ ,  $U(1) = 0$ ,  $U(J) \rightarrow \infty$  quando  $J \rightarrow 0$  ou  $J \rightarrow \infty$ .

## Exemplos

$$\Psi(\mathbf{F}) = \hat{\Psi}(\mathbf{C}) = \frac{\mu}{2}(\text{tr}(\bar{\mathbf{C}}) - 3) + \frac{\kappa}{2}(J - 1)^2 \quad (\text{Neo-Hookean})$$

$$\Psi(\mathbf{F}) \approx \hat{\Psi}(\boldsymbol{\varepsilon}) = \frac{1}{2} \mathbb{C} \boldsymbol{\varepsilon} \cdot \boldsymbol{\varepsilon} \quad (\text{Elasticidade Linear-Infinitesimal})$$

$$\text{Obs: } \boldsymbol{\sigma} = \frac{\partial \Psi}{\partial \boldsymbol{\varepsilon}} = \mathbb{C} \boldsymbol{\varepsilon}$$

# Linearização do Problema

## Método de Newton-Raphson

Seja  $f : \mathbb{R} \rightarrow \mathbb{R}$ , queremos achar  $x \in \mathbb{R}$  tal que:

$$f(x) = 0$$

para um dado chute  $x^0 \in \mathbb{R}$  realizar os passos

$$\begin{aligned} f'(x^k) \delta x^k &= -f(x^k) \\ x^{k+1} &= x^k + \delta x^k \end{aligned}$$

para  $k = 0, 1, 2, \dots$  até obter uma dada convergência.

# Linearização do Problema

## Método de Newton-Raphson

Queremos achar  $\mathbf{u} \in \mathcal{U}$  tal que:

$$\mathcal{R}(\mathbf{u}, \hat{\mathbf{u}}) = 0 \quad \forall \hat{\mathbf{u}} \in \mathcal{V}$$

para um dado chute  $\mathbf{u}^0 \in \mathcal{U}$  incrementamos

$$\begin{aligned} \delta \mathcal{R}(\mathbf{u}^k, \hat{\mathbf{u}}; \delta \mathbf{u}^k) &= -\mathcal{R}(\mathbf{u}^k, \hat{\mathbf{u}}) \quad \forall \hat{\mathbf{u}} \in \mathcal{V} \\ \mathbf{u}^{k+1} &= \mathbf{u}^k + \delta \mathbf{u}^k \end{aligned}$$

para  $k = 0, 1, 2, \dots$  até obter uma dada convergência.

# Formulação de elementos finitos

Dado  $\mathbf{u} \in \mathcal{U}$  defina

$$a_{(\mathbf{u})}(\delta \mathbf{u}, \hat{\mathbf{u}}) = \delta \mathcal{R}(\mathbf{u}, \hat{\mathbf{u}}; \delta \mathbf{u}) = \int_{\Omega_\mu} \mathbb{A}(\mathbf{u}) \nabla \delta \mathbf{u} \cdot \nabla \hat{\mathbf{u}}$$

$$f_{(\mathbf{u})}(\hat{\mathbf{u}}) = -\mathcal{R}(\mathbf{u}, \hat{\mathbf{u}}) = - \int_{\Omega_\mu} \mathbf{P}(\mathbf{u}) \nabla \delta u \cdot \nabla \hat{\mathbf{u}} d\Omega_m + \Pi^{ext}(\hat{\mathbf{u}})$$

onde  $\mathbb{A} = \frac{\partial \mathbf{P}}{\partial \mathbf{F}}$  é chamado de tensor tangente.

## Problema Discreto

Tome  $V_h \subset \mathcal{V}$ , dado  $\mathbf{u}_h \in V_h$ , achar  $\delta \mathbf{u}_h$  tal que:

$$a_{(\mathbf{u}_h)}(\delta \mathbf{u}_h, \hat{\mathbf{u}}_h) = f_{(\mathbf{u}_h)}(\hat{\mathbf{u}}_h) \quad \forall \hat{\mathbf{u}}_h \in V_h$$

# Formulação de elementos finitos

Dado  $\mathbf{u} \in \mathcal{U}$  define

$$a_{(\mathbf{u})}(\delta \mathbf{u}, \hat{\mathbf{u}}) = \delta \mathcal{R}(\mathbf{u}, \hat{\mathbf{u}}; \delta \mathbf{u}) = \int_{\Omega_\mu} \mathbb{A}(\mathbf{u}) \nabla \delta \mathbf{u} \cdot \nabla \hat{\mathbf{u}}$$

$$f_{(\mathbf{u})}(\hat{\mathbf{u}}) = -\mathcal{R}(\mathbf{u}, \hat{\mathbf{u}}) = - \int_{\Omega_\mu} \mathbf{P}(\mathbf{u}) \nabla \delta u \cdot \nabla \hat{\mathbf{u}} d\Omega_m + \Pi^{ext}(\hat{\mathbf{u}})$$

onde  $\mathbb{A} = \frac{\partial \mathbf{P}}{\partial \mathbf{F}}$  é chamado de tensor tangente.

## Problema Discreto

Tome  $V_h \subset \mathcal{V}$ , dado  $\mathbf{u}_h \in V_h$ , achar  $\delta \mathbf{u}_h$  tal que:

$$a_{(\mathbf{u}_h)}(\delta \mathbf{u}_h, \hat{\mathbf{u}}_h) = f_{(\mathbf{u}_h)}(\hat{\mathbf{u}}_h) \quad \forall \hat{\mathbf{u}}_h \in V_h$$

# Formulação Mista

- Derivando a energia de deformação temos:

$$\mathbf{P}(\mathbf{F}) = \frac{\partial \Psi(\mathbf{F})}{\partial \mathbf{F}} = \frac{\partial \Psi_{iso}(\bar{\mathbf{F}})}{\partial \mathbf{F}} + \kappa \frac{\partial U(J)}{\partial \mathbf{F}}$$

- mas:

$$\kappa \frac{\partial U(J)}{\partial \mathbf{F}} = U'(J) \frac{\partial J}{\partial \mathbf{F}} = J \kappa U'(J) \mathbf{F}^{-T}$$

definindo  $p = \kappa U'(J)$ , temos:

$$\mathbf{P} = \mathbf{P}_{iso} + J p \mathbf{F}^{-T} \quad (\boldsymbol{\sigma} = \boldsymbol{\sigma}_{iso} + p \mathbf{I})$$

- Temos assim, definindo  $\mathcal{Q} = H^1(\Omega_m) \subset L^2(\Omega_m)$ :

$$\begin{aligned} \int_{\Omega_m} \mathbf{P}_{iso} \cdot \nabla \hat{\mathbf{u}} + \int_{\Omega_m} J p \mathbf{F}^{-T} \cdot \nabla \hat{\mathbf{u}} &= \Pi_{ext}(\hat{\mathbf{u}}) \quad \forall \hat{\mathbf{u}} \in \mathcal{V} \\ \int_{\Omega_m} \left( U'(J) - \frac{1}{\kappa} p \right) \hat{p} &= 0 \quad \forall \hat{p} \in \mathcal{Q} \end{aligned}$$

Obs: Note que  $U'(J) = (J - 1)$  e que se  $\kappa \rightarrow \infty$ , temos  $J = 1 \in \Omega_\mu$  (no sentido das distribuições).

# Formulação Mista

- Derivando a energia de deformação temos:

$$\mathbf{P}(\mathbf{F}) = \frac{\partial \Psi(\mathbf{F})}{\partial \mathbf{F}} = \frac{\partial \Psi_{iso}(\bar{\mathbf{F}})}{\partial \mathbf{F}} + \kappa \frac{\partial U(J)}{\partial \mathbf{F}}$$

- mas:

$$\kappa \frac{\partial U(J)}{\partial \mathbf{F}} = U'(J) \frac{\partial J}{\partial \mathbf{F}} = J \kappa U'(J) \mathbf{F}^{-T}$$

definindo  $p = \kappa U'(J)$ , temos:

$$\mathbf{P} = \mathbf{P}_{iso} + J p \mathbf{F}^{-T} \quad (\boldsymbol{\sigma} = \boldsymbol{\sigma}_{iso} + p \mathbf{I})$$

- Temos assim, definindo  $\mathcal{Q} = H^1(\Omega_m) \subset L^2(\Omega_m)$ :

$$\begin{aligned} \int_{\Omega_m} \mathbf{P}_{iso} \cdot \nabla \hat{\mathbf{u}} + \int_{\Omega_m} J p \mathbf{F}^{-T} \cdot \nabla \hat{\mathbf{u}} &= \Pi_{ext}(\hat{\mathbf{u}}) \quad \forall \hat{\mathbf{u}} \in \mathcal{V} \\ \int_{\Omega_m} \left( U'(J) - \frac{1}{\kappa} p \right) \hat{p} &= 0 \quad \forall \hat{p} \in \mathcal{Q} \end{aligned}$$

Obs: Note que  $U'(J) = (J - 1)$  e que se  $\kappa \rightarrow \infty$ , temos  $J = 1 \in \Omega_\mu$  (no sentido das distribuições).

# Formulação Mista

- Derivando a energia de deformação temos:

$$\mathbf{P}(\mathbf{F}) = \frac{\partial \Psi(\mathbf{F})}{\partial \mathbf{F}} = \frac{\partial \Psi_{iso}(\bar{\mathbf{F}})}{\partial \mathbf{F}} + \kappa \frac{\partial U(J)}{\partial \mathbf{F}}$$

- mas:

$$\kappa \frac{\partial U(J)}{\partial \mathbf{F}} = U'(J) \frac{\partial J}{\partial \mathbf{F}} = J \kappa U'(J) \mathbf{F}^{-T}$$

definindo  $p = \kappa U'(J)$ , temos:

$$\mathbf{P} = \mathbf{P}_{iso} + J p \mathbf{F}^{-T} \quad (\boldsymbol{\sigma} = \boldsymbol{\sigma}_{iso} + p \mathbf{I})$$

- Temos assim, definindo  $\mathcal{Q} = H^1(\Omega_m) \subset L^2(\Omega_m)$ :

$$\begin{aligned} \int_{\Omega_m} \mathbf{P}_{iso} \cdot \nabla \hat{\mathbf{u}} + \int_{\Omega_m} J p \mathbf{F}^{-T} \cdot \nabla \hat{\mathbf{u}} &= \Pi_{ext}(\hat{\mathbf{u}}) \quad \forall \hat{\mathbf{u}} \in \mathcal{V} \\ \int_{\Omega_m} \left( U'(J) - \frac{1}{\kappa} p \right) \hat{p} &= 0 \quad \forall \hat{p} \in \mathcal{Q} \end{aligned}$$

Obs: Note que  $U'(J) = (J - 1)$  e que se  $\kappa \rightarrow \infty$ , temos  $J = 1 \in \Omega_\mu$  (no sentido das distribuições).



# Formulação Mista

- Derivando a energia de deformação temos:

$$\mathbf{P}(\mathbf{F}) = \frac{\partial \Psi(\mathbf{F})}{\partial \mathbf{F}} = \frac{\partial \Psi_{iso}(\bar{\mathbf{F}})}{\partial \mathbf{F}} + \kappa \frac{\partial U(J)}{\partial \mathbf{F}}$$

- mas:

$$\kappa \frac{\partial U(J)}{\partial \mathbf{F}} = U'(J) \frac{\partial J}{\partial \mathbf{F}} = J \kappa U'(J) \mathbf{F}^{-T}$$

definindo  $p = \kappa U'(J)$ , temos:

$$\mathbf{P} = \mathbf{P}_{iso} + J p \mathbf{F}^{-T} \quad (\boldsymbol{\sigma} = \boldsymbol{\sigma}_{iso} + p \mathbf{I})$$

- Temos assim, definindo  $\mathcal{Q} = H^1(\Omega_m) \subset L^2(\Omega_m)$ :

$$\begin{aligned} \int_{\Omega_m} \mathbf{P}_{iso} \cdot \nabla \hat{\mathbf{u}} + \int_{\Omega_m} J p \mathbf{F}^{-T} \cdot \nabla \hat{\mathbf{u}} &= \Pi_{ext}(\hat{\mathbf{u}}) \quad \forall \hat{\mathbf{u}} \in \mathcal{V} \\ \int_{\Omega_m} \left( U'(J) - \frac{1}{\kappa} p \right) \hat{p} &= 0 \quad \forall \hat{p} \in \mathcal{Q} \end{aligned}$$

Obs: Note que  $U'(J) = (J - 1)$  e que se  $\kappa \rightarrow \infty$ , temos  $J = 1 \in \Omega_\mu$  (no sentido das distribuições).

# Formulação Mista Estabilizada

- Dado uma partição  $\mathcal{T}_h$ , em termos da formulação espacial propoe-se adicionar na segunda equação o seguinte termo variacionalmente consistente, resíduo da equação diferencial [Klass et al, 1999]:

$$\sum_{K_s \in \mathcal{T}_h} \frac{\alpha h_K^2}{2\mu} \int_{K_s} \left( -\operatorname{div}(\sigma_{iso} + p\mathbf{I}) - \mathbf{b} \right) \cdot \operatorname{grad} \hat{p} \, d\Omega_s$$

- Simplificando para sem forças de corpo, interpolações lineares e mudando para a configuração de referencia ficamos:

$$\begin{aligned} \int_{\Omega_m} \mathbf{P}_{iso} \cdot \nabla \hat{\mathbf{u}} \, d\Omega_m + \int_{\Omega_m} Jp \mathbf{F}^{-T} \cdot \nabla \hat{\mathbf{u}} \, d\Omega_m - \Pi_{ext}(\hat{\mathbf{u}}) &= 0 \quad \forall \hat{\mathbf{u}} \in \mathcal{V} \\ \int_{\Omega_m} \left( U'(J) - \frac{1}{\kappa} p \right) \hat{p} \, d\Omega_m - \sum_{K \in \mathcal{T}_h} \frac{\alpha h_K^2}{2\mu} \int_K J \mathbf{F}^{-T} \nabla p \cdot \mathbf{F}^{-T} \nabla \hat{p} \, d\Omega_m &= 0 \quad \forall \hat{p} \in \mathcal{Q} \end{aligned}$$

- Linearizando, temos o problema de dado um par  $(\mathbf{u}, p) \in \mathcal{U} \times \mathcal{Q}$ , encontrar  $(\delta \mathbf{u}, \delta p) \in \mathcal{V} \times \mathcal{Q}$  tal que:

$$\begin{aligned} a_{(\mathbf{u}, p)}(\delta \mathbf{u}, \hat{\mathbf{u}}) + b_{(\mathbf{u}, p)}(\delta p, \hat{\mathbf{u}}) &= f_{(\mathbf{u}, p)}(\hat{\mathbf{u}}) \quad \forall \hat{\mathbf{u}} \in \mathcal{V} \\ c_{(\mathbf{u}, p)}(\delta \mathbf{u}, \hat{p}) + d_{(\mathbf{u}, p)}(\delta p, \hat{p}) &= g_{(\mathbf{u}, p)}(\hat{p}) \quad \forall \hat{p} \in \mathcal{Q} \end{aligned}$$

# Formulação Mista Estabilizada

- Dado uma partição  $\mathcal{T}_h$ , em termos da formulação espacial propoe-se adicionar na segunda equação o seguinte termo variacionalmente consistente, resíduo da equação diferencial [Klass et al, 1999]:

$$\sum_{K_s \in \mathcal{T}_h} \frac{\alpha h_K^2}{2\mu} \int_{K_s} \left( -\operatorname{div}(\boldsymbol{\sigma}_{iso} + p\mathbf{I}) - \mathbf{b} \right) \cdot \operatorname{grad} \hat{p} d\Omega_s$$

- Simplificando para sem forças de corpo, interpolações lineares e mudando para a configuração de referencia ficamos:

$$\begin{aligned} \int_{\Omega_m} \mathbf{P}_{iso} \cdot \nabla \hat{\mathbf{u}} d\Omega_m + \int_{\Omega_m} Jp \mathbf{F}^{-T} \cdot \nabla \hat{\mathbf{u}} d\Omega_m - \Pi_{ext}(\hat{\mathbf{u}}) &= 0 \quad \forall \hat{\mathbf{u}} \in \mathcal{V} \\ \int_{\Omega_m} \left( U'(J) - \frac{1}{\kappa} p \right) \hat{p} d\Omega_m - \sum_{K \in \mathcal{T}_h} \frac{\alpha h_K^2}{2\mu} \int_K J \mathbf{F}^{-T} \nabla p \cdot \mathbf{F}^{-T} \nabla \hat{p} d\Omega_m &= 0 \quad \forall \hat{p} \in \mathcal{Q} \end{aligned}$$

- Linearizando, temos o problema de dado um par  $(\mathbf{u}, p) \in \mathcal{U} \times \mathcal{Q}$ , encontrar  $(\delta \mathbf{u}, \delta p) \in \mathcal{V} \times \mathcal{Q}$  tal que:

$$\begin{aligned} a_{(\mathbf{u}, p)}(\delta \mathbf{u}, \hat{\mathbf{u}}) + b_{(\mathbf{u}, p)}(\delta p, \hat{\mathbf{u}}) &= f_{(\mathbf{u}, p)}(\hat{\mathbf{u}}) \quad \forall \hat{\mathbf{u}} \in \mathcal{V} \\ c_{(\mathbf{u}, p)}(\delta \mathbf{u}, \hat{p}) + d_{(\mathbf{u}, p)}(\delta p, \hat{p}) &= g_{(\mathbf{u}, p)}(\hat{p}) \quad \forall \hat{p} \in \mathcal{Q} \end{aligned}$$

## Formulação Mista Estabilizada

- Dado uma partição  $\mathcal{T}_h$ , em termos da formulação espacial propoe-se adicionar na segunda equação o seguinte termo variacionalmente consistente, resíduo da equação diferencial [Klass et al, 1999]:

$$\sum_{K_s \in \mathcal{T}_h} \frac{\alpha h_K^2}{2\mu} \int_{K_s} \left( -\operatorname{div}(\boldsymbol{\sigma}_{iso} + p\mathbf{I}) - \mathbf{b} \right) \cdot \operatorname{grad} \hat{p} \, d\Omega_s$$

- Simplificando para sem forças de corpo, interpolações lineares e mudando para a configuração de referencia ficamos:

$$\begin{aligned} \int_{\Omega_m} \mathbf{P}_{iso} \cdot \nabla \hat{\mathbf{u}} \, d\Omega_m + \int_{\Omega_m} Jp \mathbf{F}^{-T} \cdot \nabla \hat{\mathbf{u}} \, d\Omega_m - \Pi_{ext}(\hat{\mathbf{u}}) &= 0 \quad \forall \hat{\mathbf{u}} \in \mathcal{V} \\ \int_{\Omega_m} \left( U'(J) - \frac{1}{\kappa} p \right) \hat{p} \, d\Omega_m - \sum_{K \in \mathcal{T}_h} \frac{\alpha h_K^2}{2\mu} \int_K J \mathbf{F}^{-T} \nabla p \cdot \mathbf{F}^{-T} \nabla \hat{p} \, d\Omega_m &= 0 \quad \forall \hat{p} \in \mathcal{Q} \end{aligned}$$

- Linearizando, temos o problema de dado um par  $(\mathbf{u}, p) \in \mathcal{U} \times \mathcal{Q}$ , encontrar  $(\delta \mathbf{u}, \delta p) \in \mathcal{V} \times \mathcal{Q}$  tal que:

$$\begin{aligned} a_{(\mathbf{u}, p)}(\delta \mathbf{u}, \hat{\mathbf{u}}) + b_{(\mathbf{u}, p)}(\delta p, \hat{\mathbf{u}}) &= f_{(\mathbf{u}, p)}(\hat{\mathbf{u}}) \quad \forall \hat{\mathbf{u}} \in \mathcal{V} \\ c_{(\mathbf{u}, p)}(\delta \mathbf{u}, \hat{p}) + d_{(\mathbf{u}, p)}(\delta p, \hat{p}) &= g_{(\mathbf{u}, p)}(\hat{p}) \quad \forall \hat{p} \in \mathcal{Q} \end{aligned}$$

## Formulação Mista Estabilizada

- Dado uma partição  $\mathcal{T}_h$ , em termos da formulação espacial propoe-se adicionar na segunda equação o seguinte termo variacionalmente consistente, resíduo da equação diferencial [Klass et al, 1999]:

$$\sum_{K_s \in \mathcal{T}_h} \frac{\alpha h_K^2}{2\mu} \int_{K_s} \left( -\operatorname{div}(\boldsymbol{\sigma}_{iso} + p\mathbf{I}) - \mathbf{b} \right) \cdot \operatorname{grad} \hat{p} \, d\Omega_s$$

- Simplificando para sem forças de corpo, interpolações lineares e mudando para a configuração de referencia ficamos:

$$\begin{aligned} \int_{\Omega_m} \mathbf{P}_{iso} \cdot \nabla \hat{\mathbf{u}} \, d\Omega_m + \int_{\Omega_m} Jp \mathbf{F}^{-T} \cdot \nabla \hat{\mathbf{u}} \, d\Omega_m - \Pi_{ext}(\hat{\mathbf{u}}) &= 0 \quad \forall \hat{\mathbf{u}} \in \mathcal{V} \\ \int_{\Omega_m} \left( U'(J) - \frac{1}{\kappa} p \right) \hat{p} \, d\Omega_m - \sum_{K \in \mathcal{T}_h} \frac{\alpha h_K^2}{2\mu} \int_K J \mathbf{F}^{-T} \nabla p \cdot \mathbf{F}^{-T} \nabla \hat{p} \, d\Omega_m &= 0 \quad \forall \hat{p} \in \mathcal{Q} \end{aligned}$$

- Linearizando, temos o problema de dado um par  $(\mathbf{u}, p) \in \mathcal{U} \times \mathcal{Q}$ , encontrar  $(\delta \mathbf{u}, \delta p) \in \mathcal{V} \times \mathcal{Q}$  tal que:

$$\begin{aligned} a_{(\mathbf{u}, p)}(\delta \mathbf{u}, \hat{\mathbf{u}}) + b_{(\mathbf{u}, p)}(\delta p, \hat{\mathbf{u}}) &= f_{(\mathbf{u}, p)}(\hat{\mathbf{u}}) \quad \forall \hat{\mathbf{u}} \in \mathcal{V} \\ c_{(\mathbf{u}, p)}(\delta \mathbf{u}, \hat{p}) + d_{(\mathbf{u}, p)}(\delta p, \hat{p}) &= g_{(\mathbf{u}, p)}(\hat{p}) \quad \forall \hat{p} \in \mathcal{Q} \end{aligned}$$

Onde:

$$a_{(\mathbf{u},p)}(\mathbf{w}, \mathbf{v}) = \int_{\Omega_m} (\mathbb{A} \nabla \mathbf{w}) \cdot \nabla \mathbf{v}$$

$$b_{(\mathbf{u},p)}(q, \mathbf{w}) = \int_{\Omega_m} Jq \mathbf{F}^{-T} \cdot \nabla \mathbf{w}$$

$$c_{(\mathbf{u},p)}(\mathbf{w}, q) = \int_{\Omega_m} U''(J) Jq \mathbf{F}^{-T} \cdot \nabla \mathbf{w} + \sum_{K \in \mathcal{T}_h} \frac{\alpha h_K^2}{2\mu} \int_K (\mathbb{E} \nabla \mathbf{w}) \cdot \nabla \hat{q}$$

$$d_{(\mathbf{u},p)}(q, \hat{q}) = - \int_{\Omega_m} \frac{1}{\kappa} q \hat{q} + \sum_{K \in \mathcal{T}_h} \frac{\alpha h_K^2}{2\mu} \int_K J \mathbf{F}^{-T} \nabla q \cdot \mathbf{F}^{-T} \nabla \hat{q}$$

$$f_{(\mathbf{u},p)}(\mathbf{w}) = - \int_{\Omega_m} \mathbf{P}_{iso} \cdot \nabla \mathbf{w} - \int_{\Omega_m} Jp \mathbf{F}^{-T} \cdot \nabla \mathbf{w} + \Pi_{ext}(\mathbf{w})$$

$$g_{(\mathbf{u},p)}(q) = - \int_{\Omega_m} \left( U'(J) - \frac{1}{\kappa} p \right) q - \sum_{K \in \mathcal{T}_h} \frac{\alpha h_K^2}{2\mu} \int_K J \mathbf{F}^{-T} \nabla p \cdot \mathbf{F}^{-T} \nabla q$$

Onde:

$$\mathbb{A} = \mathbb{A}_{iso} + J\mathbf{F}^{-T} \otimes \mathbf{F}^{-T} - J\mathbf{F}^{-T} \odot \mathbf{F}^{-1}$$

$$\mathbb{B} = J \left( \mathbf{C}^{-1} \otimes \mathbf{F}^{-T} - \mathbf{F}^{-1} \odot \mathbf{C}^{-1} - \mathbf{C}^{-1} \odot \mathbf{F}^{-1} \right)$$

$$\mathbb{E} = \mathbb{B}_{ijkl}(\nabla p)_j \mathbf{e}_i \otimes \mathbf{e}_k \otimes \mathbf{e}_l$$

usando as seguintes definições não usuais tensores de segunda ordem arbitrarios  $\mathbf{A}, \mathbf{B}, \mathbf{C}$ .

$$(\mathbf{A} \otimes \mathbf{B})_{ijkl} = A_{ij}B_{kl} \text{ ou seja}$$

$$(\mathbf{A} \otimes \mathbf{B})\mathbf{C} = (\mathbf{B} \cdot \mathbf{C})\mathbf{A}$$

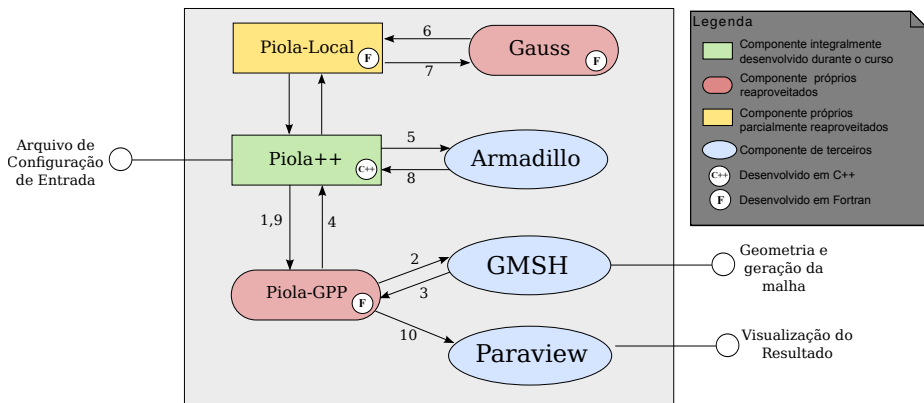
$$(\mathbf{A} \odot \mathbf{B})_{ijkl} = A_{il}B_{jk} \text{ ou seja}$$

$$(\mathbf{A} \odot \mathbf{B})\mathbf{C} = \mathbf{A}\mathbf{C}^T\mathbf{B}^T$$

$$(\mathbf{A} \odot \mathbf{B})_{ijkl} = A_{ik}B_{jl} \text{ ou seja}$$

$$(\mathbf{A} \odot \mathbf{B})\mathbf{C} = \mathbf{A}\mathbf{C}\mathbf{B}^T$$

## Visão de Execução



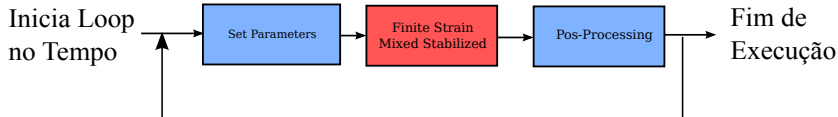
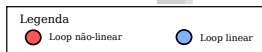


## Piola++ : Arquivo de Configuração de Loops

```

1 *TimeStep ( DelT, Tini, Tmax )
2 1.0 1.0 20.1
3
4 # (NSubsteps, MaxElemLib,MaxLCommonPar,MaxNodeI)
5 *ElementLibraryControl
6 3 3 23 3
7
8 # set material param (isNL)
9 *SubStep
10 0
11 100 0
12 100 0
13 901 -1
14
15 23*0.0
16 23*0.0
17 3 1 2 0.400969 0.0 400942.0 17*0.0
18
19 # finite strain mixed stabilized
20 # |(isNL, if(isNL) tol maxit)
21 *SubStep
22 1
23 0.00000001 50
24 798 -2
25 539 -3
26 100 0
27
28 0 3 1 2 5 1 0 1 0 0.001 13*0.0
29 0 3 5 1 0.0625 0.0 1.0 16*0.0
30 23*0.0
31
32 # pos processing
33 *SubStep
34 0
35 797 -4
36 100 0
37 100 0
38 0 1 2 1 0 1 0 4 3 1 4 2 5 3 7 4 7*0.0
39 23*0.0
40

```



## Piola++ : Interface com Fortran

```

module interfaceFortran

    implicit none

    public executerElementC, executerSymbolicC
    private fortranMatrix2Carray, fortranMatrix2CarrayI

    contains

    subroutine executerElementC(id_Elem_Family, AE, BE, Ma
                                Sol0, Sol1, CommonPar, Par

4  extern "C" {
5      void __interfacefortran_MOD_executerelementc(int* ,
6                                                    double*, double*, int*, double*, d
7  }

```

## Piola-Local

- Dados:  $\mathbf{u}^e \in \mathbb{R}^{n_u}$ ,  $\mathbf{p}^e \in \mathbb{R}^{n_p}$ , Geometria, Propriedades Materiais.
- Para cada ponto de Gauss avaliar as funções de forma e suas derivadas (em coord. globais) e definir as matrizes (caso particular  $n_p = 3, n_u = 3, n_{sd} = 2$ ):

$$\mathbf{B}_u^e = \begin{bmatrix} \varphi_{1,x} & 0 & \varphi_{2,x} & 0 & \varphi_{3,x} & 0 \\ \varphi_{1,y} & 0 & \varphi_{2,y} & 0 & \varphi_{3,y} & 0 \\ 0 & \varphi_{1,x} & 0 & \varphi_{2,x} & 0 & \varphi_{3,x} \\ 0 & \varphi_{1,y} & 0 & \varphi_{2,y} & 0 & \varphi_{3,y} \end{bmatrix} \in \mathbb{R}^{n_{sd}^2 \times n_u}$$

$$\mathbf{B}_p^e = \begin{bmatrix} \varphi_{1,x} & \varphi_{2,x} & \varphi_{3,x} \\ \varphi_{1,y} & \varphi_{2,y} & \varphi_{3,y} \end{bmatrix} \in \mathbb{R}^{n_{sd} \times n_p}$$

$$\mathbf{N}_p^e = [\varphi_1 \quad \varphi_2 \quad \varphi_3]^T \in \mathbb{R}^{n_p}$$

tais que  $(\nabla \mathbf{u})_e = \mathbf{B}_u^e \mathbf{u}^e$ ,  $\nabla p = \mathbf{B}_p^e \mathbf{p}^e$ ,  $p = \mathbf{N}_p^e \cdot \mathbf{p}$ .

- Dado que  $\mathbf{F} = \mathbf{I} + \nabla \mathbf{u}$ , podemos calcular  $J, \mathbf{F}^{-T}, \mathbf{C}, \mathbf{C}^{-1}, \mathbf{B}, \mathbf{E}$  e ainda:

$$(\mathbf{P}_{iso})_{ij} = \frac{\partial \Psi_{iso}}{\partial (\mathbf{F})_{ij}}(\mathbf{F}) = \frac{\Psi_{iso}(\mathbf{F} + \tau \mathbf{e}_i \otimes \mathbf{e}_j) - \Psi_{iso}(\mathbf{F})}{\tau}$$

$$(\mathbf{A}_{iso})_{ijkl} = \frac{\partial (\mathbf{P}_{iso})_{ij}}{\partial (\mathbf{F})_{kl}}(\mathbf{F}) = \frac{\partial^2 \Psi_{iso}}{\partial (\mathbf{F})_{ij} \partial (\mathbf{F})_{kl}}$$

## Piola-Local

- Dados:  $\mathbf{u}^e \in \mathbb{R}^{n_u}$ ,  $\mathbf{p}^e \in \mathbb{R}^{n_p}$ , Geometria, Propriedades Materiais.
- Para cada ponto de Gauss avaliar as funções de forma e suas derivadas (em coord. globais) e defina as matrizes (caso particular  $n_p = 3, n_u = 3, n_{sd} = 2$ ):

$$\mathbf{B}_u^e = \begin{bmatrix} \varphi_{1,x} & 0 & \varphi_{2,x} & 0 & \varphi_{3,x} & 0 \\ \varphi_{1,y} & 0 & \varphi_{2,y} & 0 & \varphi_{3,y} & 0 \\ 0 & \varphi_{1,x} & 0 & \varphi_{2,x} & 0 & \varphi_{3,x} \\ 0 & \varphi_{1,y} & 0 & \varphi_{2,y} & 0 & \varphi_{3,y} \end{bmatrix} \in \mathbb{R}^{n_{sd}^2 \times n_u}$$

$$\mathbf{B}_p^e = \begin{bmatrix} \varphi_{1,x} & \varphi_{2,x} & \varphi_{3,x} \\ \varphi_{1,y} & \varphi_{2,y} & \varphi_{3,y} \end{bmatrix} \in \mathbb{R}^{n_{sd} \times n_p}$$

$$\mathbf{N}_p^e = [\varphi_1 \quad \varphi_2 \quad \varphi_3]^T \in \mathbb{R}^{n_p}$$

tais que  $(\nabla \mathbf{u})_v = \mathbf{B}_u^e \mathbf{u}^e$ ,  $\nabla p = \mathbf{B}_p^e \mathbf{p}^e$ ,  $p = \mathbf{N}_p^e \cdot \mathbf{p}$ .

- Dado que  $\mathbf{F} = \mathbf{I} + \nabla \mathbf{u}$ , podemos calcular  $J, \mathbf{F}^{-T}, \mathbf{C}, \mathbf{C}^{-1}, \mathbb{B}, \mathbb{E}$  e ainda:

$$(\mathbf{P}_{iso})_{ij} = \frac{\partial \Psi_{iso}}{\partial (\mathbf{F})_{ij}}(\mathbf{F}) = \frac{\Psi_{iso}(\mathbf{F} + \tau \mathbf{e}_i \otimes \mathbf{e}_j) - \Psi_{iso}(\mathbf{F})}{\tau}$$

$$(\mathbb{A}_{iso})_{ijkl} = \frac{\partial (\mathbf{P}_{iso})_{ij}}{\partial (\mathbf{F})_{kl}}(\mathbf{F}) = \frac{\partial^2 \Psi_{iso}}{\partial (\mathbf{F})_{ij} \partial (\mathbf{F})_{kl}}$$

## Piola-Local

- Dados:  $\mathbf{u}^e \in \mathbb{R}^{n_u}$ ,  $\mathbf{p}^e \in \mathbb{R}^{n_p}$ , Geometria, Propriedades Materiais.
- Para cada ponto de Gauss avaliar as funções de forma e suas derivadas (em coord. globais) e defina as matrizes (caso particular  $n_p = 3, n_u = 3, n_{sd} = 2$ ):

$$\mathbf{B}_u^e = \begin{bmatrix} \varphi_{1,x} & 0 & \varphi_{2,x} & 0 & \varphi_{3,x} & 0 \\ \varphi_{1,y} & 0 & \varphi_{2,y} & 0 & \varphi_{3,y} & 0 \\ 0 & \varphi_{1,x} & 0 & \varphi_{2,x} & 0 & \varphi_{3,x} \\ 0 & \varphi_{1,y} & 0 & \varphi_{2,y} & 0 & \varphi_{3,y} \end{bmatrix} \in \mathbb{R}^{n_{sd}^2 \times n_u}$$

$$\mathbf{B}_p^e = \begin{bmatrix} \varphi_{1,x} & \varphi_{2,x} & \varphi_{3,x} \\ \varphi_{1,y} & \varphi_{2,y} & \varphi_{3,y} \end{bmatrix} \in \mathbb{R}^{n_{sd} \times n_p}$$

$$\mathbf{N}_p^e = [\varphi_1 \quad \varphi_2 \quad \varphi_3]^T \in \mathbb{R}^{n_p}$$

tais que  $(\nabla \mathbf{u})_v = \mathbf{B}_u^e \mathbf{u}^e$ ,  $\nabla p = \mathbf{B}_p^e \mathbf{p}^e$ ,  $p = \mathbf{N}_p^e \cdot \mathbf{p}$ .

- Dado que  $\mathbf{F} = \mathbf{I} + \nabla \mathbf{u}$ , podemos calcular  $J, \mathbf{F}^{-T}, \mathbf{C}, \mathbf{C}^{-1}, \mathbb{B}, \mathbb{E}$  e ainda:

$$(\mathbf{P}_{iso})_{ij} = \frac{\partial \Psi_{iso}}{\partial (\mathbf{F})_{ij}}(\mathbf{F}) = \frac{\Psi_{iso}(\mathbf{F} + \tau \mathbf{e}_i \otimes \mathbf{e}_j) - \Psi_{iso}(\mathbf{F})}{\tau}$$

$$(\mathbb{A}_{iso})_{ijkl} = \frac{\partial (\mathbf{P}_{iso})_{ij}}{\partial (\mathbf{F})_{kl}}(\mathbf{F}) = \frac{\partial^2 \Psi_{iso}}{\partial (\mathbf{F})_{ij} \partial (\mathbf{F})_{kl}}$$

## Piola-Local

- Dados:  $\mathbf{u}^e \in \mathbb{R}^{n_u}$ ,  $\mathbf{p}^e \in \mathbb{R}^{n_p}$ , Geometria, Propriedades Materiais.
- Para cada ponto de Gauss avaliar as funções de forma e suas derivadas (em coord. globais) e defina as matrizes (caso particular  $n_p = 3, n_u = 3, n_{sd} = 2$ ):

$$\mathbf{B}_u^e = \begin{bmatrix} \varphi_{1,x} & 0 & \varphi_{2,x} & 0 & \varphi_{3,x} & 0 \\ \varphi_{1,y} & 0 & \varphi_{2,y} & 0 & \varphi_{3,y} & 0 \\ 0 & \varphi_{1,x} & 0 & \varphi_{2,x} & 0 & \varphi_{3,x} \\ 0 & \varphi_{1,y} & 0 & \varphi_{2,y} & 0 & \varphi_{3,y} \end{bmatrix} \in \mathbb{R}^{n_{sd}^2 \times n_u}$$

$$\mathbf{B}_p^e = \begin{bmatrix} \varphi_{1,x} & \varphi_{2,x} & \varphi_{3,x} \\ \varphi_{1,y} & \varphi_{2,y} & \varphi_{3,y} \end{bmatrix} \in \mathbb{R}^{n_{sd} \times n_p}$$

$$\mathbf{N}_p^e = [\varphi_1 \quad \varphi_2 \quad \varphi_3]^T \in \mathbb{R}^{n_p}$$

tais que  $(\nabla \mathbf{u})_v = \mathbf{B}_u^e \mathbf{u}^e$ ,  $\nabla p = \mathbf{B}_p^e \mathbf{p}^e$ ,  $p = \mathbf{N}_p^e \cdot \mathbf{p}$ .

- Dado que  $\mathbf{F} = \mathbf{I} + \nabla \mathbf{u}$ , podemos calcular  $J, \mathbf{F}^{-T}, \mathbf{C}, \mathbf{C}^{-1}, \mathbb{B}, \mathbb{E}$  e ainda:

$$(\mathbf{P}_{iso})_{ij} = \frac{\partial \Psi_{iso}}{\partial (\mathbf{F})_{ij}}(\mathbf{F}) = \frac{\Psi_{iso}(\mathbf{F} + \tau \mathbf{e}_i \otimes \mathbf{e}_j) - \Psi_{iso}(\mathbf{F})}{\tau}$$

$$(\mathbb{A}_{iso})_{ijkl} = \frac{\partial (\mathbf{P}_{iso})_{ij}}{\partial (\mathbf{F})_{kl}}(\mathbf{F}) = \frac{\partial^2 \Psi_{iso}}{\partial (\mathbf{F})_{ij} \partial (\mathbf{F})_{kl}}$$

# Piola-Local:Continuação

- Definir os vetores auxiliares:

$$\mathbf{d}^e = J(\mathbf{B}_u^e)^T (\mathbf{F}^{-T})_v \quad (\in \mathbb{R}^{n_u})$$

$$\mathbf{C}^e = \mathbf{d}^e \otimes \mathbf{N}_p^e \quad (\in \mathbb{R}^{n_u \times n_p})$$

$$\mathbf{D}^e = \mathbf{N}_p^e \otimes \mathbf{N}_p^e \quad (\in \mathbb{R}^{n_p \times n_p})$$

- Computar os blocos das matrizes tangentes elementares:

$$\mathbf{K}_{uu}^e = \int_{K^e} (\mathbf{B}_u^e)^T (\mathbf{A})_m \mathbf{B}_u^e \quad (\in \mathbb{R}^{n_u \times n_u})$$

$$\mathbf{K}_{up}^e = \int_{K^e} \mathbf{C}^e \quad (\in \mathbb{R}^{n_u \times n_p})$$

$$\mathbf{K}_{pu}^e = \int_{K^e} U''(J)(\mathbf{C}^e)^T - \frac{\alpha h_K^2}{2\mu} \int_{\Omega_m} (\mathbf{B}_p^e)^T (\mathbf{E})_m \mathbf{B}_u^e \quad (\in \mathbb{R}^{n_p \times n_u})$$

$$\mathbf{K}_{pp}^e = \int_{\Omega_m} -\frac{1}{\kappa} \mathbf{D}^e - \frac{\alpha h_K^2}{2\mu} \int_{\Omega_m} J(\mathbf{B}_p^e)^T \mathbf{C}^{-1} \mathbf{B}_p^e \quad (\in \mathbb{R}^{n_p \times n_p})$$

# Piola-Local:Continuação

- Definir os vetores auxiliares:

$$\mathbf{d}^e = J(\mathbf{B}_u^e)^T (\mathbf{F}^{-T})_v \quad (\in \mathbb{R}^{n_u})$$

$$\mathbf{C}^e = \mathbf{d}^e \otimes \mathbf{N}_p^e \quad (\in \mathbb{R}^{n_u \times n_p})$$

$$\mathbf{D}^e = \mathbf{N}_p^e \otimes \mathbf{N}_p^e \quad (\in \mathbb{R}^{n_p \times n_p})$$

- Computar os blocos das matrizes tangentes elementares:

$$\mathbf{K}_{uu}^e = \int_{K^e} (\mathbf{B}_u^e)^T (\mathbb{A})_m \mathbf{B}_u^e \quad (\in \mathbb{R}^{n_u \times n_u})$$

$$\mathbf{K}_{up}^e = \int_{K^e} \mathbf{C}^e \quad (\in \mathbb{R}^{n_u \times n_p})$$

$$\mathbf{K}_{pu}^e = \int_{K^e} U''(J)(\mathbf{C}^e)^T - \frac{\alpha h_K^2}{2\mu} \int_{\Omega_m} (\mathbf{B}_p^e)^T (\mathbb{E})_m \mathbf{B}_u^e \quad (\in \mathbb{R}^{n_p \times n_u})$$

$$\mathbf{K}_{pp}^e = \int_{\Omega_m} -\frac{1}{\kappa} \mathbf{D}^e - \frac{\alpha h_K^2}{2\mu} \int_{\Omega_m} J(\mathbf{B}_p^e)^T \mathbf{C}^{-1} \mathbf{B}_p^e \quad (\in \mathbb{R}^{n_p \times n_p})$$



## Piola-Local: Continuação

- Definir os vetores auxiliares:

$$\mathbf{d}^e = J(\mathbf{B}_u^e)^T (\mathbf{F}^{-T})_v \quad (\in \mathbb{R}^{n_u})$$

$$\mathbf{C}^e = \mathbf{d}^e \otimes \mathbf{N}_p^e \quad (\in \mathbb{R}^{n_u \times n_p})$$

$$\mathbf{D}^e = \mathbf{N}_p^e \otimes \mathbf{N}_p^e \quad (\in \mathbb{R}^{n_p \times n_p})$$

- Computar os blocos das matrizes tangentes elementares:

$$\mathbf{K}_{uu}^e = \int_{K^e} (\mathbf{B}_u^e)^T (\mathbb{A})_m \mathbf{B}_u^e \quad (\in \mathbb{R}^{n_u \times n_u})$$

$$\mathbf{K}_{up}^e = \int_{K^e} \mathbf{C}^e \quad (\in \mathbb{R}^{n_u \times n_p})$$

$$\mathbf{K}_{pu}^e = \int_{K^e} U''(J)(\mathbf{C}^e)^T - \frac{\alpha h_K^2}{2\mu} \int_{\Omega_m} (\mathbf{B}_p^e)^T (\mathbb{E})_m \mathbf{B}_u^e \quad (\in \mathbb{R}^{n_p \times n_u})$$

$$\mathbf{K}_{pp}^e = \int_{\Omega_m} -\frac{1}{\kappa} \mathbf{D}^e - \frac{\alpha h_K^2}{2\mu} \int_{\Omega_m} J(\mathbf{B}_p^e)^T \mathbf{C}^{-1} \mathbf{B}_p^e \quad (\in \mathbb{R}^{n_p \times n_p})$$

## Piola-Local: Continuação

- Computar os blocos dos vetores resíduos negativos:

$$\mathbf{F}_u^e = - \int_{K^e} \left[ (\mathbf{B}_u^e)^T (\mathbf{P}_{iso})_v + p \mathbf{d}^e \right] + [\Pi_{ext}]_v \quad (\in \mathbb{R}^{n_u})$$

$$\mathbf{F}_p^e = - \int_{K^e} \left[ U'(J) - \frac{1}{\kappa} \right] \mathbf{N}_p^e + \frac{\alpha h_K^2}{2\mu} \int_{K^e} J (\mathbf{B}_p^e)^T \mathbf{C}^{-1} \nabla p \quad (\in \mathbb{R}^{n_p})$$

- Retornar as matrizes e vetores globais para Piola++:

$$\mathbf{K}^e = \begin{bmatrix} \mathbf{K}_{uu}^e & \mathbf{K}_{up}^e \\ \mathbf{K}_{pu}^e & \mathbf{K}_{pp}^e \end{bmatrix}$$

$$\mathbf{F}^e = \begin{bmatrix} \mathbf{F}_u^e \\ \mathbf{F}_p^e \end{bmatrix}$$

# Piola-Local:Continuação

- Computar os blocos dos vetores resíduos negativos:

$$\mathbf{F}_u^e = - \int_{K^e} \left[ (\mathbf{B}_u^e)^T (\mathbf{P}_{iso})_v + p \mathbf{d}^e \right] + [\Pi_{ext}]_v \quad (\in \mathbb{R}^{n_u})$$

$$\mathbf{F}_p^e = - \int_{K^e} \left[ U'(J) - \frac{1}{\kappa} \right] \mathbf{N}_p^e + \frac{\alpha h_K^2}{2\mu} \int_{K^e} J(\mathbf{B}_p^e)^T \mathbf{C}^{-1} \nabla p \quad (\in \mathbb{R}^{n_p})$$

- Retornar as matrizes e vetores globais para Piola++:

$$\mathbf{K}^e = \begin{bmatrix} \mathbf{K}_{uu}^e & \mathbf{K}_{up}^e \\ \mathbf{K}_{pu}^e & \mathbf{K}_{pp}^e \end{bmatrix}$$

$$\mathbf{F}^e = \begin{bmatrix} \mathbf{F}_u^e \\ \mathbf{F}_p^e \end{bmatrix}$$

## Piola-Local: Continuação

- Computar os blocos dos vetores resíduos negativos:

$$\mathbf{F}_u^e = - \int_{K^e} \left[ (\mathbf{B}_u^e)^T (\mathbf{P}_{iso})_v + p \mathbf{d}^e \right] + [\Pi_{ext}]_v \quad (\in \mathbb{R}^{n_u})$$

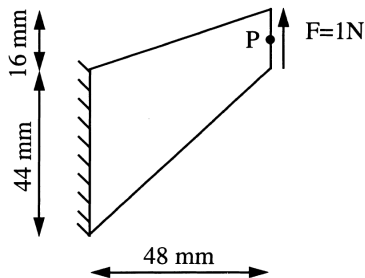
$$\mathbf{F}_p^e = - \int_{K^e} \left[ U'(J) - \frac{1}{\kappa} \right] \mathbf{N}_p^e + \frac{\alpha h_K^2}{2\mu} \int_{K^e} J(\mathbf{B}_p^e)^T \mathbf{C}^{-1} \nabla p \quad (\in \mathbb{R}^{n_p})$$

- Retornar as matrizes e vetores globais para Piola++:

$$\mathbf{K}^e = \begin{bmatrix} \mathbf{K}_{uu}^e & \mathbf{K}_{up}^e \\ \mathbf{K}_{pu}^e & \mathbf{K}_{pp}^e \end{bmatrix}$$

$$\mathbf{F}^e = \begin{bmatrix} \mathbf{F}_u^e \\ \mathbf{F}_p^e \end{bmatrix}$$

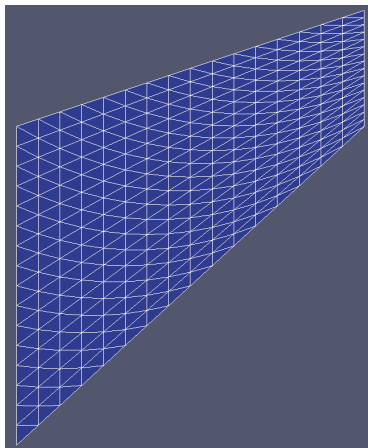
# Membrana de Cook:



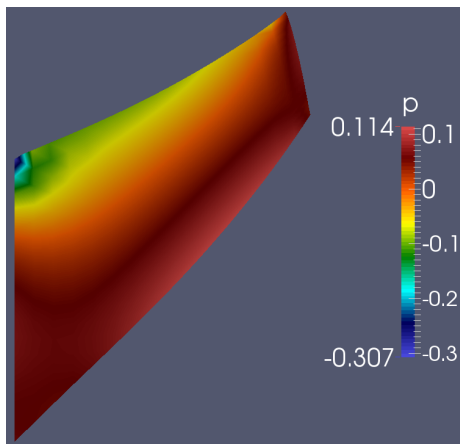
- Modelo Neo-Hookeano com  $\mu = 0.801938\text{N/mm}^2$  e  $\kappa = 800942.0$   $\left(\frac{\kappa}{\mu} \sim 10^6, \nu \approx 0.49995\right)$ .
- Deformação plana, i.e  $\mathbf{F} = \begin{bmatrix} x & x & 0 \\ x & x & 0 \\ 0 & 0 & 1 \end{bmatrix}$ .
- $h_e = \text{max comprimento de aresta}$ .
- O carregado é distribuído de forma homogênea na superfície.
- Convergencia com somente 1 passo de carga. Para o caso com locking, foram 50 !!!!.

## Teste 1 : Escolha da parâmetro de estabilização

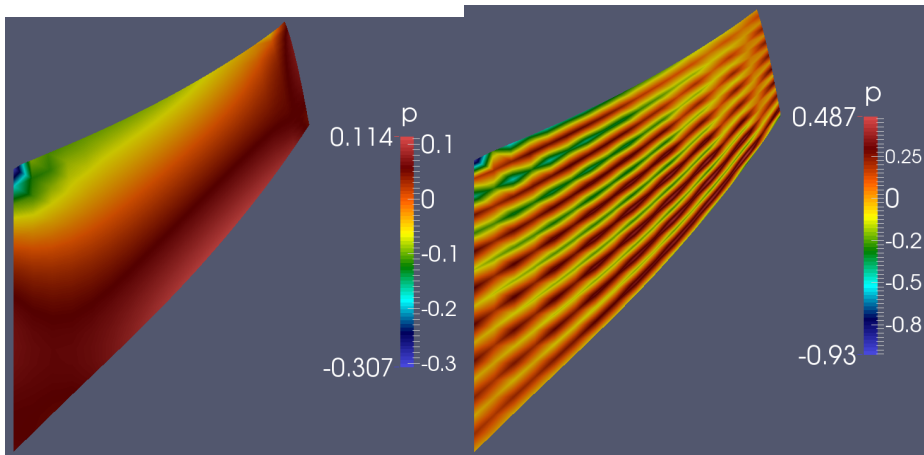
- Variar  $\alpha \in \{1.0e-12, 0.0001, 0.001, 0.01, 0.05, 0.1\}$  e ver como se comporta a solução.
- Malha com 16 elementos por lado. Aproximação P2P1 e P1P1 estabilizada.



Pressão: P2P1 x P1P1stab  $\alpha = 1e - 12$

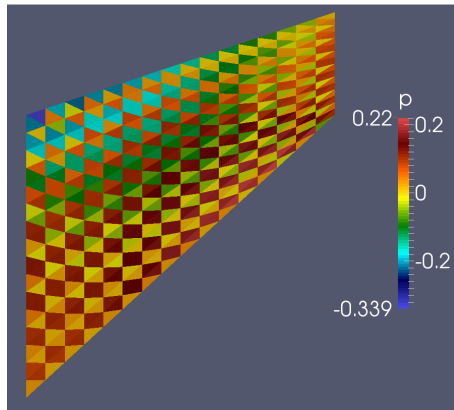
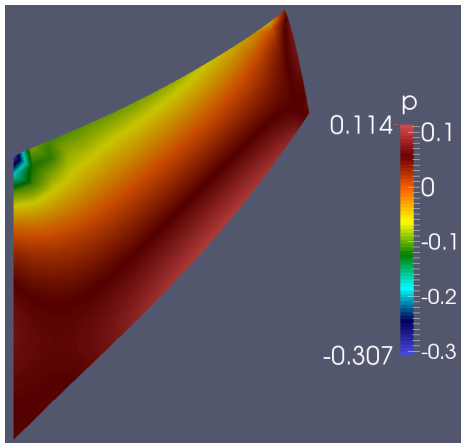


Pressão: P2P1 x P1P1stab  $\alpha = 1e - 12$

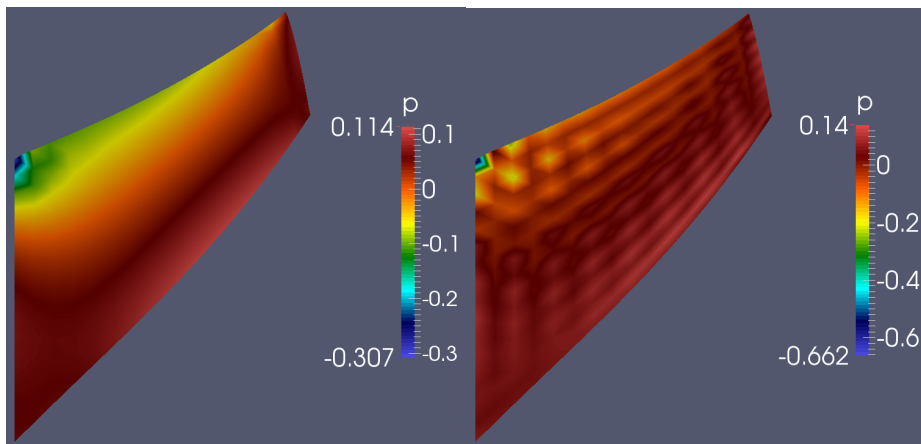




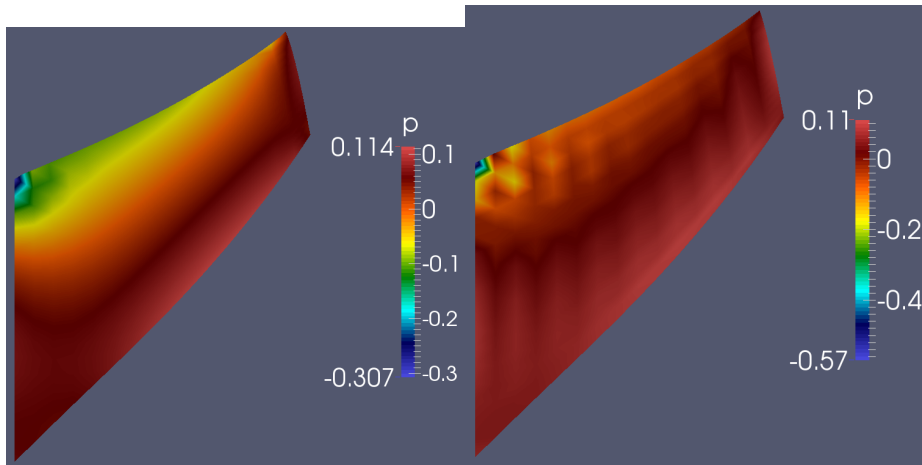
Pressão: P2P1 x P1P1stab  $\alpha = 1e - 12$



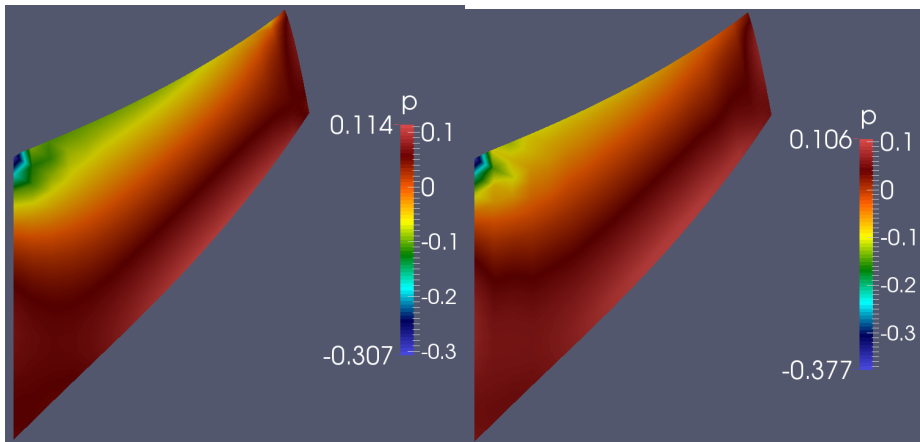
Pressão: P2P1 x P1P1stab  $\alpha = 0.0001$



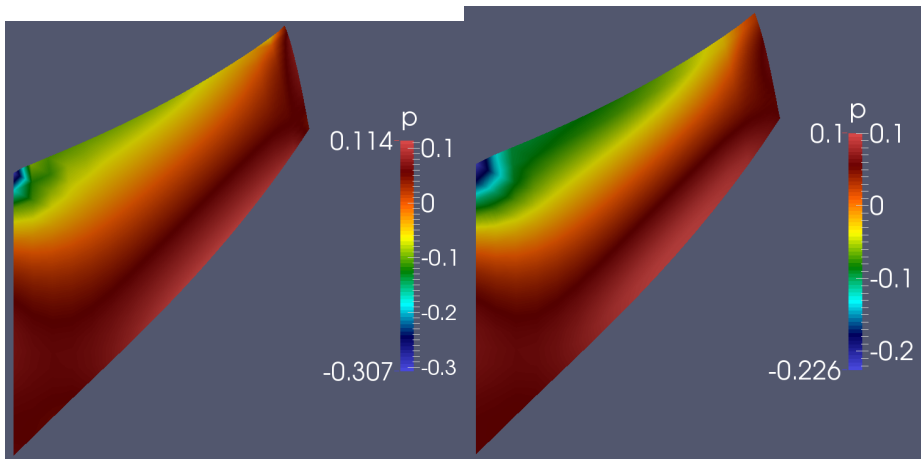
Pressão: P2P1 x P1P1stab  $\alpha = 0.001$



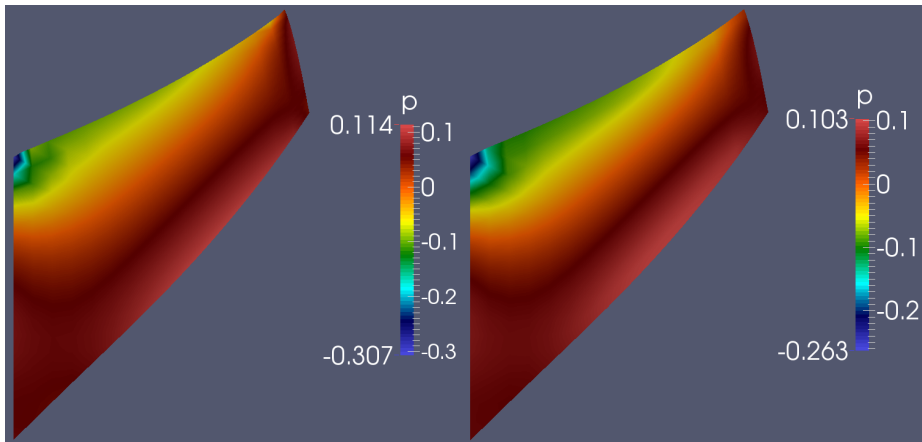
Pressão: P2P1 x P1P1stab  $\alpha = 0.01$



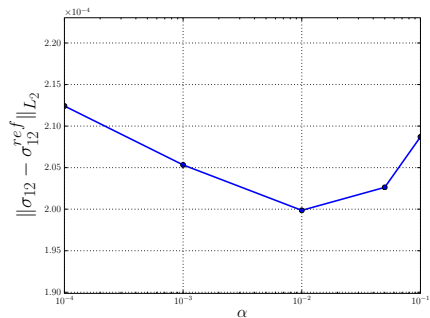
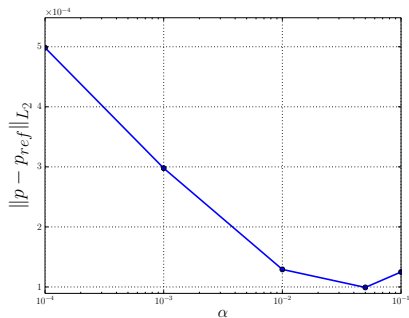
Pressão: P2P1 x P1P1stab  $\alpha = 0.1$



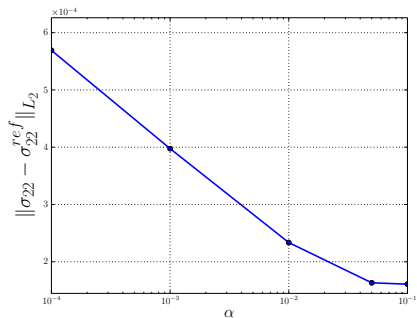
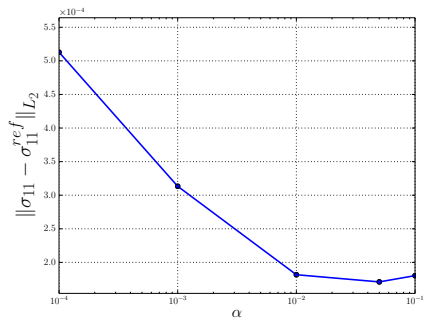
Pressão: P2P1 x P1P1stab  $\alpha = 0.05$



# Normas: Pressão e $\sigma_{12}$

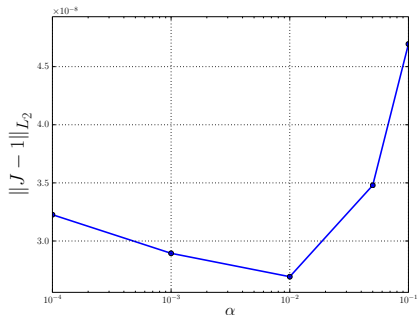
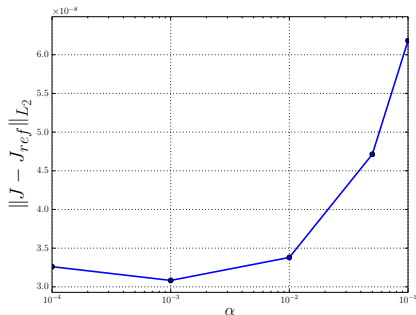


# Normas: $\sigma_{11}$ e $\sigma_{22}$

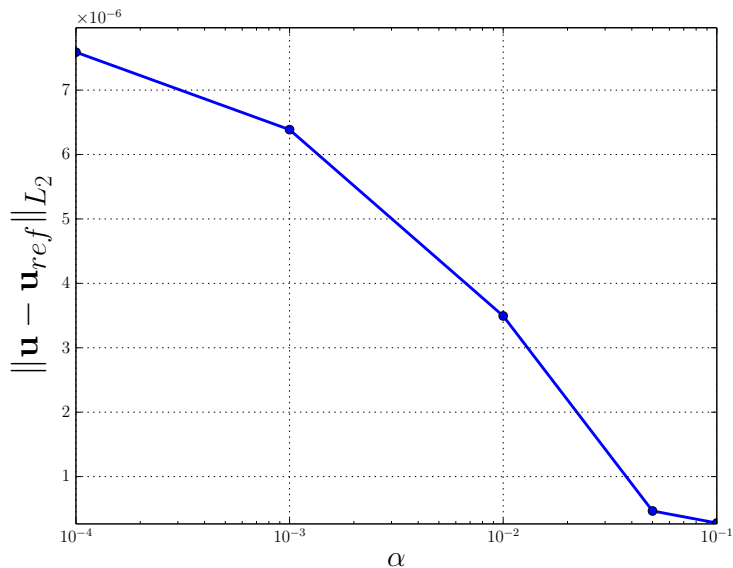




# Normas: $J$ (vs P2P1) e $J$ (vs 1)

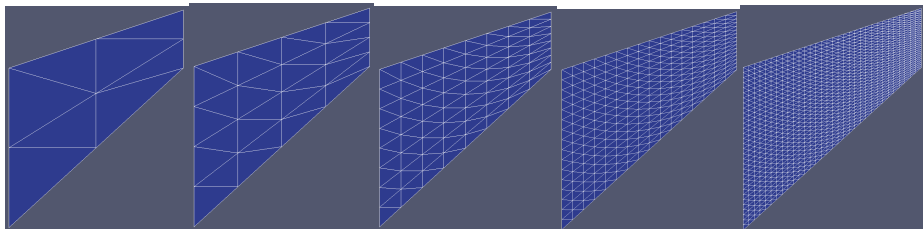


- Obs:  $\|J_{P2P1} - 1\|_{L_2} = 4.706e - 09$

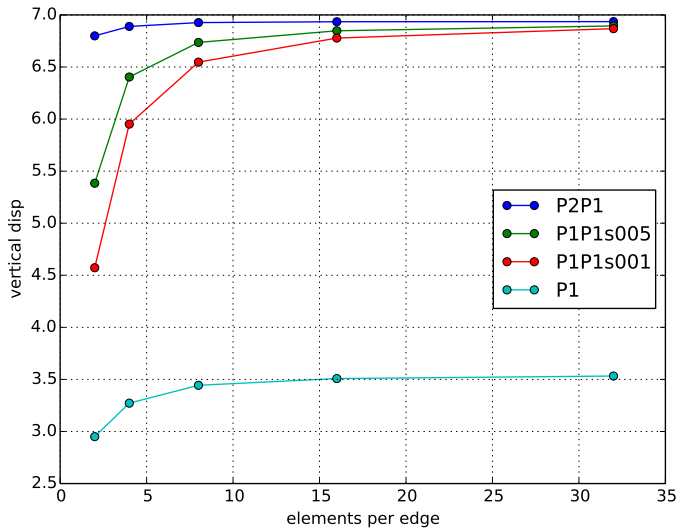
Norma:  $U$ 

## Teste 2: Refinamento da malha

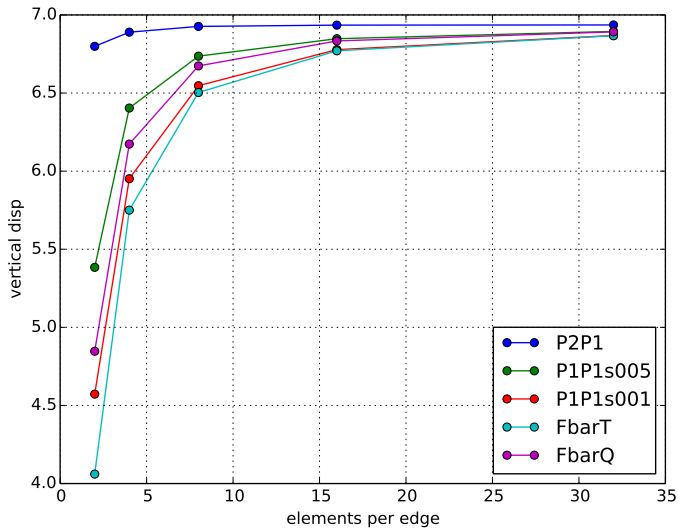
- Malha com número de elementos por lado  $\in \{2, 4, 8, 16, 32\}$ .
- Aproximação de um campo P1 e mista P2P1 e P1P1 estabilizada com  $\alpha = 0.01$  e  $0.05$ .



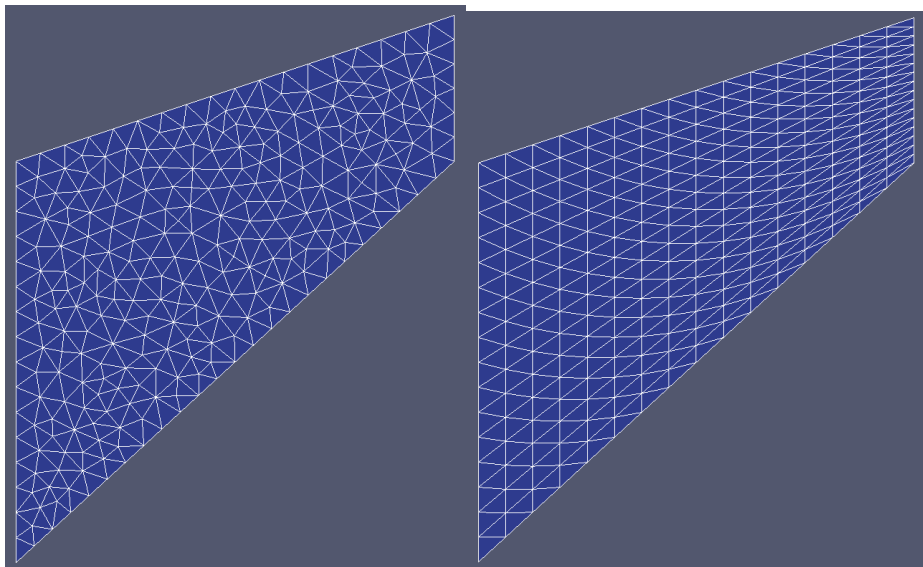
## Convergência malha deslocamento topo direito



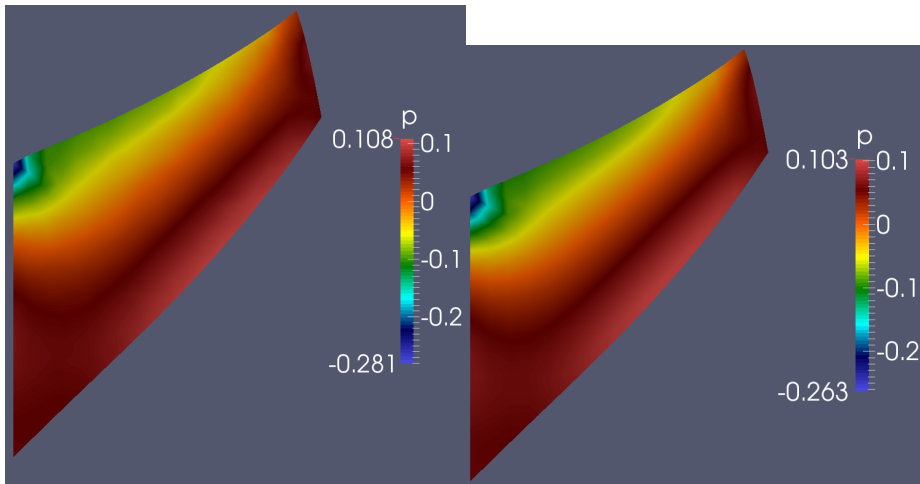
## Comparação com a literatura [de Souza Neto et al,2005]



### Teste 3: Malha não-Estruturada $\alpha = 0.05$ (506 vs. 512 triângulos)

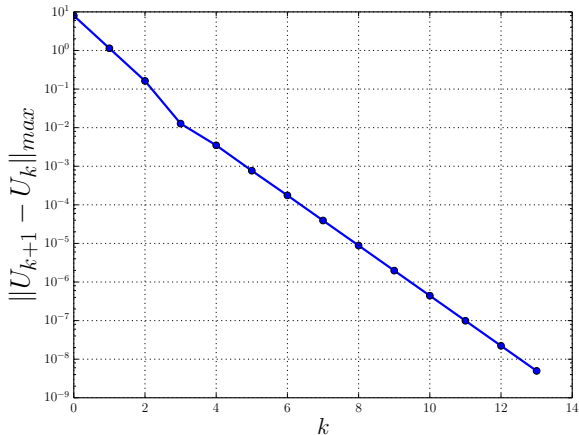


### Teste 3: Malha não-Estruturada $\alpha = 0.05$ (506 vs. 512 triangulos)



Deslocamento: 6.86908150 vs. 6.84781483

# Convergência Newton-Raphson



Para

$$e_k = \|\mathbf{U}_{k+1} - \mathbf{U}_k\|_{max}$$

$$\frac{\log(e_{k+2}/e_{k+1})}{\log(e_{k+1}/e_k)} \approx 1!!!??$$



## Considerações Finais

- É resolvido a condição de Locking.
- A estabilização é altamente dependente do parametro de estabilização.
- Pode ser vantajoso dependendo do compromisso entre desempenho e precisão.

### Futuras investigações

- Aproximações descontínuas para pressão.
- Outras alternativas para estabilização.

## Considerações Finais

- É resolvido a condição de Locking.
- A estabilização é altamente dependente do parametro de estabilização.
- Pode ser vantajoso dependendo do compromisso entre desempenho e precisão.

### Futuras investigações

- Aproximações descontínuas para pressão.
- Outras alternativas para estabilização.

## Further Reading



E. A. de Souza Neto, F. M. Andrade Pires and D. R. J. Owen

F-bar-based linear triangles and tetrahedra for finite strain analysis of nearly incompressible solids. Part I: formulation and benchmarking

INTERNATIONAL JOURNAL FOR NUMERICAL METHODS IN ENGINEERING 2005.



Ottmar Klaas , Antoinette Maniatty, Mark S. Shephard

A stabilized mixed Finite element method for Finite elasticity. Formulation for linear displacement and pressure interpolation.

*Comput. Methods Appl. Mech. Engrg.* 1999.



P.J. Sanchez , V.E. Sonzogni, A.E. Huespe

Study of a stabilized mixed finite element with emphasis in its numerical performance for strain localization problems.

COMMUNICATIONS IN NUMERICAL METHODS IN ENGINEERING 2007.

# Questions ?